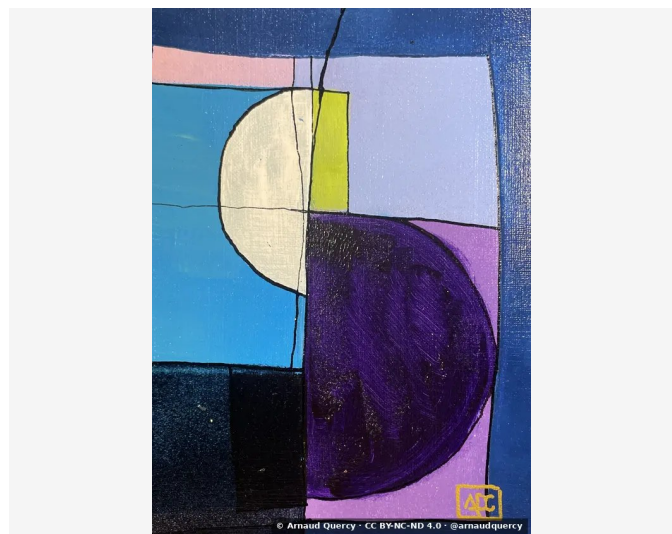


# Nanopublication – Analyse Computationnelle d'Image – AQC0937

par Arnaud Quercy · La bémol Mineur - Recherche sur l'Harmonie - Variations 15 · 2025



AFFIRMATION 1: ANALYSE COMPUTATIONNELLE D'IMAGE - AQC0937

Analyse computationnelle d'image [3] de l'œuvre La bémol Mineur [1] - Recherche sur l'Harmonie - Variations 15 (AQC0937) [2] par Arnaud Quercy [2] utilisant la méthode de regroupement k-means avec 10 paramètres d'extraction de couleurs. L'analyse comprend la distribution des couleurs, les métriques de texture, les mesures de luminosité/contraste, et la caractérisation des motifs spatiaux. Analyse effectuée le 2026-02-04.

## CONTEXTE

L'analyse effectuée selon MMIDS-CMP-2025 [3] comprend quatre catégories de métriques : (1) Distribution des couleurs via k-means (10 couleurs), (2) Analyse de texture utilisant les caractéristiques de Haralick, (3) Mesures de luminosité et contraste, (4) Caractérisation des motifs spatiaux. Image source [5] : 1988x2783 pixels. Date d'analyse : 2026-02-04.

## ANALYSE DES COULEURS

Rang	Couleur	Hex	%	Famille	Nom
1		231436	15.6	violet	very dark purple
2		4098CA	14.0	blue	steelblue
3		2E4881	13.8	blue-violet	grayish purple
4		B6BDE3	13.1	blue-violet	lightsteelblue
5		0C0A15	12.1	violet	black
6		E8D6C1	9.4	yellow-orange	wheat
7		382659	9.0	violet	dusty mauve
8		AE7EC3	5.6	red-violet	mediumpurple
9		566495	5.1	violet	dusty mauve
10		C8C444	2.4	yellow	ochre
11		827568	0.3	orange	gray [Accent]
12		E7B0AA	0.3	red-orange	lightpink [Accent]
13		A1A76B	0.3	yellow-green	ochre [Accent]
14		846A76	0.3	red	dusty mauve [Accent]
15		66A8B6	0.3	blue-green	cadetblue [Accent]

## Familles de Couleurs:

Famille	%
violet	41.8
blue-violet	26.9
blue	14.0
yellow-orange	9.4
red-violet	5.6
yellow	2.4
orange	0.3
red-orange	0.3
yellow-green	0.3
red	0.3
blue-green	0.3

## Couleurs d'Accent:

Hex	Famille	Nom	Chroma
827568	orange	gray	9.5
E7B0AA	red-orange	lightpink	22.0
A1A76B	yellow-green	ochre	32.3
846A76	red	dusty mauve	12.4
66A8B6	blue-green	cadetblue	22.0

## ANALYSE DE TEXTURE

Métrique	Valeur
Global Roughness	0.278
Mean Local Roughness	0.024
Roughness Uniformity	0.03
Edge Density	0.085
Mean Gradient Magnitude	0.192
Gradient Variance	0.098
Gradient Smoothness	0.0
Directional Coherence	0.011
Pattern Complexity	0.126
Pattern Repetition	1.0
Detail Frequency Ratio	0.635
Spatial Variation	0.192
Texture Consistency	0.701

## ANALYSE DE LUMINOSITÉ ET CONTRASTE

Métrique	Valeur
Mean Brightness	0.401
Brightness Variance	0.278
Brightness Uniformity	0.307
Brightness Skewness	0.284
Brightness Entropy	7.585
Rms Contrast	0.278
Michelson Contrast	1.0
Weber Contrast	0.914
Mean Local Contrast	0.026
Contrast Uniformity	0.0
Dynamic Range	1.0
Effective Dynamic Range	0.816
Shadow Percentage	49.717
Midtone Percentage	25.431
Highlight Percentage	24.851
Shadow Clipping	0.011
Highlight Clipping	0.001
Tonal Balance	0.24
Fine Contrast	0.012
Medium Contrast	0.033
Coarse Contrast	0.05
Multiscale Contrast Ratio	0.245
Edge Contrast	0.192
Contrast Clustering	0.299

## ANALYSE DE DISTRIBUTION SPATIALE

Métrique	Valeur
Spatial Coherence	0.753
Color Clustering	0.764
Color Transition Smoothness	0.478
Transition Uniformity	0.32
Sharp Transition Ratio	0.1
Transition Directionality	0.013
Mean Saturation	0.508
Saturation Variance	0.059
Low Saturation Ratio	0.29
Medium Saturation Ratio	0.463
High Saturation Ratio	0.247
Saturation Clustering	0.997
Hue Concentration	0.759
Complementary Balance	0.031
Analogous Dominance	0.866
Temperature Bias	-0.495

## Méthodologie

Cette analyse emploie des méthodes computationnelles standardisées pour la caractérisation objective des images. L'extraction des couleurs utilise l'algorithme de regroupement

k-means. L'analyse de texture applique l'extraction des caractéristiques de Haralick. Les métriques de luminosité incluent la moyenne, la variance et l'analyse de distribution. Les motifs spatiaux sont caractérisés par des mesures de cohérence et de regroupement. Toutes les méthodes sont déterministes et reproductibles. Analyse effectuée par les systèmes d'imagerie computationnelle de l'Institut Multimodal.

### RÉFÉRENCES

- [1] Arnaud Quercy (2025). La bémol Mineur - Recherche sur l'Harmonie - Variations 15 - Catalog raisonné. <https://arnaudquercy.art/en/catalogue-raisonne/AQC0937.html>
- [2] Quercy, A. (2025). Ab Minor - Research on Harmony - Variations 15 - Gallery. [https://artquamanima.com/fr/oeuvres/2025/12/la-bemol-mineur-recherche-sur-lharmonie-variations-15\\_1i11.html](https://artquamanima.com/fr/oeuvres/2025/12/la-bemol-mineur-recherche-sur-lharmonie-variations-15_1i11.html)
- [3] Quercy, A. (2025). Computational Image Analysis Standard - MMIDS-CMP-2025 <https://multimodal.institute/en/publications/2025/11/mmids-cmp-2025-computational-image-analysis-standard-dg1.html>

### OÙ VIT CETTE ŒUVRE

### ÉLÉMENTS THÉMATIQUES

cartographie chromesthésique accord La bémol mineur  
 art synesthésique acrylique sur papier  
 traduction harmonique études pianistiques tons violets  
 bleu acier format compact visualisation musicale  
 espacement des voix Explorations Synesthésiques

### PROFIL ÉPISTÉMIQUE

**Type de revendication** computational analysis

**Voix** third person

**Statut épistémique** empirical measurement

**Méthodologie** computational analysis

**Certitude** high

### SOMME DE CONTRÔLE (SHA-256)

7d36103785a031f14629f632e663b3119931e75467f4371f9470bb996c7a26fa

Sous licence Creative Commons Attribution 4.0 International (CC BY 4.0)

**Artiste** Arnaud Quercy

**Date** 2025

**Collection** Explorations Synesthésiques

**Certificat** 20251231-0132

**Asset code** AQC0937

**Identifiant** NAN-COL000494

**Version** 1

**Publié le** 2026-03-01

ISSN: [en attente – Library of Congress]

© 2026 Multimodal Institute

Publié par Art Quam Anima Publishing New York,  
une marque éditoriale de AQA PUBLISHING LLC

c/o Northwest Registered Agent, 418 Broadway Ste N  
Albany, NY 12207, USA  
+1 917-764-5470

[publishing.artquamanima.com](http://publishing.artquamanima.com)

Dernière mise à jour: 2026-06-03

URI persistante: <https://multimodal.institute/fr/nanopubs/2026/03/AQC0937-computational-image-analysis-aqc0937.pdf>